



دانشکده شیمی

گروه شیمی معدنی

پایان نامه

برای دریافت درجه کارشناسی ارشد در رشته شیمی معدنی

عنوان:

سترن و مطالعه کمپلکس های برخی فلزات واسطه با لیگاند شیف باز
آسیل هیدر ازونی و لیگند آزید

استاد راهنمای

دکتر بهروز شعبانی، دکتر علی اکبر خاندار

استاد مشاور

دکتر سید ابوالفضل حسینی بزدی

پژوهشگر

سعیده السادات کاظمی

مرداد

۱۳۹۰

| | |
|---|---|
| نام خانوادگی دانشجو: کاظمی | نام: سعیده السادات |
| عنوان پایان نامه: سنتز و مطالعه کمپلکس های برخی فلزات واسطه با لیگاند شیف باز آسیل هیدرازونی و لیگند آزید | |
| استاد راهنمای: دکتر بهروز شعبانی، دکتر علی اکبر خاندار | استاد مشاور: دکتر سید ابوالفضل حسینی یزدی |
| مقطع تحصیلی: کارشناسی ارشد دانشگاه: تبریز | رشته: شیمی |
| تعداد صفحه: ۱۳۹۰ | تاریخ فارغ التحصیلی: ۱۳۹۰ |
| کلید واژه ها: شبیه هالید و کمپلکس های آزید و تیوسیانات ، کمپلکس های مس، کمپلکس منگنز، کمپلکس روی ، طیف های الکترونی ، بررسی مغناطیسی و شیف باز | |
| چکیده: | |
| <p>در این کار پژوهشی هدف سنتز کمپلکس های حاوی آزید با برخی فلزات واسطه است. بدین منظور ابتدا لیگاندهای شیف باز حاصل از واکنش تراکمی ۴-پیریدین کربوکسیلیک اسید هیدرازید با ۲-پیریدین کربالدهید (HL) و با ۲-پیریدین متیل کتون (LH) سنتز شدند. لیگاندهای شیف باز ¹HL و ¹LH به وسیله طیف های ¹H-NMR و FT-IR مطالعه شدند. سنتز کمپلکس های آزیدی مورد نظر با استفاده از نسبت های مولی ۱:۸ از لیگاندهای HL و LH و نمک نیترات مس (II) و آزید ، ۱:۳:۸ از شیف باز ¹HL و نمک منگنز کلرید (II) و آزید ، ۱:۱:۸ از لیگاند شیف باز HL و نمک استات روی (II) و آزید انجام شد. در ادامه به منظور بررسی اثر شبیه هالید بر روی ساختار کمپلکس های مس، از تیوسیانات پتاسم استفاده گردید. در همه کمپلکس های مس با لیگاند شیف باز ¹HL و ¹LH و آزید و تیوسیانات این لیگاند شبیه هالید به صورت انتهایی به یون مس کثوردینه شدند. ساختار کمپلکس های سنتز شده با کریستالوگرافی اشعه ایکس مشخص شد. داده های کریستالوگرافی تشکیل پلیمرهای یک بعدی زیگزاگی از [Cu(L)(N₇)_n, [Cu(L)(SCN)_n] را تایید می کنند. کمپلکس ¹[L]_n(H₂O)₂ یک پلیمر دو بعدی می باشد که در آن یونهای مس از طریق دو آزید EO و با موقعیت استوایی محوری با هندسه هشت وجهی بهم متصل شده اند. واحد های دو هسته ای توسط نیتروژن موقعیت پارا حلقه پیریدین به واحد های دو هسته ای دیگر متصل شده است. کمپلکس ¹[Mn₇(N₇)₂(L)₂(H₂O)₂]_n یک پلیمر دو بعدی است که در آن نه تنها آزیدهای double-EO دیده می شود بلکه آزید به صورت Single- EO نیز کثوردینه شده است. کمپلکس ¹[Zn₇(N₇)₂.2H₂O]_n نیز پلیمر دو بعدی می باشد که در آن یونهای مس از طریق دو آزید EO و با موقعیت استوایی محوری با هندسه هشت وجهی بهم متصل شده اند. کمپلکس Cu(HL)(SCN)(NCS) یک تک هسته ای می باشد که تیوسیانات از دو دندانه S و N به مس کثوردینه شده است. حضور گروه آزید و تیوسیانات در کمپلکسها بوسیله حضور پیک در ناحیه ¹Cm ۲۰۰۰-۲۱۰۰ مورد تایید قرار گرفت. نتایج بدست آمده از طیف الکترونی و هدایت سنجی نشان می دهد که کمپلکس ¹[Cu(L)(N₇)_n] از هندسه ی هرم مربعی در DMF انحراف نشان داده است و کمپلکس غیر الکتروولیت است. نتایج UV جامد از کمپلکس های مس با هندسه هرم مربعی نشان</p> | |

می دهد که تیوسیانات در مقایسه با آزید تاثیر محسوسی بر روی قدرت میدان لیگاندر کمپلکس مشابه نداشته است. کمپلکس منگنز طبق بررسی انجام شده از طریق اندازه گیریهای مغناطیسی یک پلیمر دو بعدی با خاصیت Ferrimagnet-like با علامت کوپلاز AF/AF/F می باشد. در این پلیمر آزیدهای double-EO کوپلاز فرومغناطیسی و آزید EE کوپلاز آنتی فرومغناطیسی را ایجاد می کند.

فهرست مطالب

فصل اول : بررسی منابع

| | |
|----|--|
| ۱ | مقدمه..... |
| ۱ | ۱- لیگانهای پلسانز..... |
| ۲ | ۲- آزید..... |
| ۵ | ۳- هیدرازوونها..... |
| ۶ | ۴- کاربرد آسیل هیدرازوونها و کمپلکسهای آنها..... |
| ۶ | ۴-۱ اثرات بیولوژیکی..... |
| ۱۰ | ۴-۲ خاصیت کاتالیزوری |
| ۱۰ | ۴-۳ هیدرازوونها با دندانه های PNN و PNO فعال کننده پیوند C-H..... |
| ۱۱ | ۴-۴-۱ اکسیداسیون آلکنهای..... |
| ۱۲ | ۴-۴-۲ هیدرازوونها با قابلیت تجزیه کمی یونهای فلزی..... |
| ۱۳ | ۵- تنوغ کثوردینه شوندگی آسیل هیدرازوونها و بررسی کمپلکسهای آن..... |
| ۱۵ | ۶- بررسی کمپلکسهای مس و منگنز با لیگاند آزید..... |
| ۱۵ | ۶-۱ کمپلکسهای مس تک هسته ای با آزید انتهایی..... |
| ۱۵ | ۶-۱-۱ کمپلکس های با محیط کثوردیناسیونی چهاروجهی و مربع مسطح..... |
| ۱۶ | ۶-۱-۲ کمپلکسهای با محیط کثوردیناسیونی هرم مربعی و دو هرمی مثلثی..... |
| ۱۹ | ۶-۲ کمپلکس های دو هسته ای با پل آزید..... |

| | |
|---------|--|
| ۱۹..... | ۱-۲-۶-۱ کمپلکس های با دو پل آزیدی EO |
| ۲۱..... | ۲-۲-۶-۱ کمپلکس های با دو پل آزیدی EE |
| ۲۳..... | ۱-۶-۳-بررسی چین خوردگی در حلقه های CuN _۳ CuN _۳ در ساختارهای aSP و aTBP |
| ۲۴..... | ۱-۶-۴-کمپلکس های مس-آزید با یک پل EE |
| ۲۵..... | ۱-۶-۵-سیستم های یک بعدی یکنواخت |
| ۲۵..... | ۱-۶-۵-۱-سیستم های یک بعدی یکنواخت با پل آزیدی EE |
| ۲۶..... | ۱-۶-۵-۲-سیستم های یک بعدی یکنواخت با پل آزیدی EO |
| ۲۷..... | ۱-۶-۷-سیستم های یک بعدی غیر یکنواخت |
| ۲۹..... | ۱-۶-۷-۱ سیستم های یک بعدی با پل آزید ۳ او ۱-μ |
| ۲۹..... | ۱-۶-۸-سیستم های دو بعدی |
| ۳۴..... | هدف پایان نامه |

فصل دوم: مواد و روش ها

| | |
|---------|--|
| ۳۵..... | ۱-۲ دستگاهها و تجهیزات بکار رفته |
| ۳۶..... | ۲-۲ مواد بکار رفته |
| ۳۶..... | ۲-۳ روشن تهیه مواد |
| | ۱-۳-۲ روشن تهیه لیگاندهای شیف باز |
| ۳۷..... | ۲-۳-۱-۱ تهیه لیگاند'N-(پیریدین-۲-ایل) متیلن) ایزو نیکوتینوهیدرازید (HL ^۱) |
| ۳۷..... | ۲-۳-۲-۱ تهیه لیگاند'N-(۱- (پیریدین-۲-ایل) اتیلیدین) ایزو نیکوتینوهیدرازید (HL ^۲) |

| | |
|---------|--|
| ۳۸..... | ۲-۳-۲ تهیه کمپلکسها |
| ۳۸..... | ۱-۲-۳-۲ سنتز کمپلکس $[Cu(L^{\prime})(N_r)_n]$ |
| ۳۹..... | ۲-۲-۳-۲ سنتز کمپلکس $[Cu(L^{\prime})(N_r)_n \cdot [Cu_r(L^{\prime})_r(N_r)_r \cdot 2H_2O]_n$ |
| ۴۰..... | ۳-۲-۳-۲ سنتز کمپلکس $[Mn_r(N_r)_r(L^{\prime})_r(H_2O)_r \cdot C_2H_5OH \cdot H_2O]_n$ |
| ۴۰..... | ۲-۲-۳-۴ سنتز کمپلکس $Cu(HL^{\prime})(SCN)(NCS) \cdot [Cu(L^{\prime})(SCN)]_n$ |
| ۴۱..... | ۲-۲-۳-۵ سنتز کمپلکس $[Zn_r(L^{\prime})_r(N_r)_r \cdot 2H_2O]_n$ |

فصل سوم: بحث و نتیجه گیری

| | |
|----------|--|
| ۴۲..... | ۱-۳ تهیه و شناسایی لیگاند های $HL^{\prime}, HL^{\prime \prime}$ |
| ۵۲..... | ۲-۳ شناسایی کمپلکسها |
| ۶۰..... | ۳-۳ مطالعات هدایت سنجی کمپلکسها |
| ۶۱..... | ۴-۳ بررسی طیفهای الکترونی در ناحیه مرئی و فرابنفش |
| ۶۱..... | ۱-۴-۳ بررسی طیفهای الکترونی لیگاند های $HL^{\prime}, HL^{\prime \prime}$ و آزید |
| ۶۵..... | ۲-۴-۳ بررسی طیفهای الکترونی کمپلکسها |
| ۷۴..... | ۳-۵ بررسی ساختار بلوری کمپلکسها |
| ۷۴..... | ۱-۵-۳ ساختار مولکولی و کریستالی کمپلکس $[Cu_r(L^{\prime})_r(N_r)_r \cdot 2H_2O]_n$ |
| ۸۸..... | ۲-۵-۳ ساختار مولکولی و کریستالی کمپلکس $[Cu(L^{\prime})(N_r)_n]$ |
| ۹۸..... | ۳-۵-۳ ساختار مولکولی و کریستالی کمپلکس $[Cu(L^{\prime})(NCS)]_n$ |
| ۱۰۹..... | ۴-۵-۳ ساختار مولکولی و کریستالی کمپلکس $[Cu(L^{\prime})(N_r)_n]$ |
| ۱۲۰..... | ۶-۵-۳ ساختار مولکولی و کریستالی کمپلکس $Cu(HL^{\prime})(SCN)(NCS)$ |

| | |
|---|-----|
| ۷-۵-۳ ساختار مولکولی و کریستالی کمپلکس $[Zn(L)(N_3)_2 \cdot 2H_2O]_n$ | ۱۲۸ |
| ۸-۵-۳ ساختار مولکولی و کریستالی کمپلکس $[Mn(N_3)(L)(H_2O)_2 \cdot 0.7C_2H_5OH \cdot 0.4H_2O]_n$ | ۱۴۰ |
| ۶-۳ بررسی مغناطیسی کمپلکس $[Mn(N_3)(L)(H_2O)_2 \cdot 0.6C_2H_5OH \cdot 0.4H_2O]_n$ | ۱۵۲ |
| ۷-۷-۳ پیش بینی خواص مغناطیسی کمپلکس $[Cu(L)(N_3)_2 \cdot 2H_2O]_n$ | ۱۵۷ |
| نتیجه گیری | ۱۵۸ |
| پیشنهادات | ۱۵۹ |
| مراجع | ۱۶۰ |

فهرست جداول

| | |
|---|----|
| جدول ۱-۱ طول و زوایای برخی از کمپلکس های مس-آزید eq-eq | ۲۰ |
| جدول ۱-۲ طول و زوایای برخی از کمپلکس های مس-آزید eq-ax | ۲۰ |
| جدول ۱-۳ اطلاعات ساختاری و مقدار ثابت کوپلاژ برای سیستم های یک بعدی یکنواخت با پل آزید EO | ۲۷ |
| جدول ۱-۴ اطلاعات ساختاری و مغناطیسی برخی از سیستم های یک بعدی با پل آزید | ۲۹ |
| جدول ۲-۱ مواد به کار رفته | ۳۶ |
| جدول ۲-۳ ارتعاشات حلقه پیریدین | ۴۴ |
| جدول ۳-۳ اعداد موجی (cm^{-1}) برخی شیوه های ارتعاشی لیگاند HL^+ و HL^- | ۴۴ |

جدول ۳-۴ نتایج طیف H -NMR لیگاند 1HL ۴۶

جدول ۳-۵ مقادیر مینیمم انرژی پایداری و آنتالپی تشکیل بر حسب Kcal/mol در 1HL ۴۷

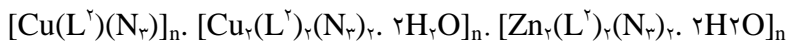
جدول ۳-۶ مقادیر مینیمم انرژی پایداری و آنتالپی تشکیل بر حسب Kcal/mol در 2HL ۵۰

جدول ۳-۷ برخی مشخصات فیزیکی کمپلکس ها ۵۲

جدول ۳-۸ اعداد موجی (cm^{-1}) برخی شیوه های ارتعاشی ۵۵



جدول ۳-۹ اعداد موجی (cm^{-1}) برخی شیوه های ارتعاشی کمپلکس ها ۵۶



جدول ۳-۱۰ اعداد موجی (cm^{-1}) برخی شیوه های ارتعاشی کمپلکس ها ۵۹



جدول ۳-۱۱ هدایت مولی برای محلول مواد یونی در حلال DMF ۶۰

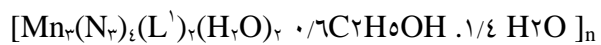
جدول ۳-۱۲ هدایت مولی کمپلکس ها ۶۱

جدول ۳-۱۳ مشخصات طیف الکترونی لیگاند 1HL ۶۲

جدول ۳-۱۴ مشخصات طیف الکترونی لیگاند 2HL ۶۱

جدول ۳-۱۵ مشخصات طیف الکترونی کمپلکس $[Cu(L')(N_7)]_n$ ۶۴

جدول ۳-۱۶ مشخصات طیف الکترونی کمپلکس ۶۸



جدول ۳-۱۷ مشخصات طیف الکترونی کمپلکس ۷۲



جدول ۳-۱۸ مشخصات طیف الکترونی کمپلکس $[Zn_7(L')_2(N_7)_2 \cdot 2H_2O]_n$ ۷۳

جدول ۳-۱۹ پیوندهای هیدروژنی [Å] در کمپلکس $[Cu_2(L')_2(N_7)_2 \cdot 2H_2O]_n$ ۸۱

جدول ۲۰-۳ نتایج وداده های بلورشناسی کمپلکس $[Cu(L)(N_3)_2 \cdot 2H_2O]_n$ ۸۴

جدول ۲۱-۳ پارامترهای جابجایی ایزوتروپی و مختصات هیدروژنی (\AA) در کمپلکس

۸۵..... $[Cu(L)(N_3)_2 \cdot 2H_2O]_n$

جدول ۲۲-۳ پارامترهای جابجایی ایزوتروپی اکی والان و مختصات اتمی در کمپلکس

۵۸..... $[Cu(L)(N_3)_2 \cdot 2H_2O]_n$

جدول ۲۳-۳ طول و زوایای پیوندی در کمپلکس $[Cu(L)(N_3)_2 \cdot 2H_2O]_n$ ۸۶

جدول ۲۴-۳ پارامترهای جابجایی ایزوتروپی اکی والان و مختصات اتمی ($A^{82} \times 10^{-83}$)

۸۸.....در کمپلکس $[Cu(L)(N_3)_2 \cdot 2H_2O]_n$

جدول ۲۵-۳ پیوندهای هیدروژنی [\AA] در کمپلکس $[Cu(L)(N_3)]_n$ ۹۱

جدول ۲۶-۳ اطلاعات مربوط به پیوند هیدروژنی در کمپلکس $[Cu(N_3)Pyz(H_2O)]_n$ ۹۳

جدول ۲۷-۳ نتایج وداده های بلورشناسی کمپلکس $[Cu(L)(N_3)]_n$ ۹۴

جدول ۲۸-۳ پارامترهای جابجایی آنیزوتروپی ($A^{82} \times 10^{-83}$) در کمپلکس

۹۵..... $[Cu(L)(N_3)]_n$

جدول ۲۹-۳ پارامترهای جابجایی ایزوتروپی ($A^{82} \times 10^{-83}$) و مختصات هیدروژنی ($x \times 10^{-84}$)

۹۵.....در کمپلکس $[Cu(L)(N_3)]_n$

جدول ۳۰-۳ طول(\AA) و زوایای پیوندها ($^\circ$) در کمپلکس $[Cu(L)(N_3)]_n$ ۹۶

جدول ۳۱-۳ پارامترهای جابجایی ایزوتروپی اکی والان ($A^{82} \times 10^{-83}$) و مختصات اتمی

۹۸.....در کمپلکس $[Cu(L)(N_3)]_n$ ($x \times 10^{-84}$)

جدول ۳۲-۳ پیوندهای هیدروژنی [\AA] در کمپلکس $[Cu(L)(NCS)]_n$ ۱۰۳

جدول ۳۳-۳ نتایج وداده های بلورشناسی کمپلکس $[Cu(L)(NCS)]_n$ ۱۰۴

۳۴-۳ پارامترهای جابجایی آنیزوتروپی (A^{۸۲} x ۱۰^{۸۳}) در کمپلکس [Cu(L')(NCS)]_n ۱۰۵.....

۳۵-۳ پارامترهای جابجایی آنیزوتروپی (A^{۸۲} x ۱۰^{۸۳}) و مختصات هیدروژنی (A^{۸۴} x ۱۰^{۸۴}) در

۱۰۵..... کمپلکس [Cu(L')(NCS)]_n

۳۶-۳ پارامترهای جابجایی آنیزوتروپی اکی والان (A^{۸۲} x ۱۰^{۸۳}) و مختصات اتمی (A^{۸۴} x ۱۰^{۸۴}) در

۱۰۶..... کمپلکس [Cu(L')(NCS)]_n

۳۷-۳ طول (Å) و زوایای پیوندها (°) در کمپلکس [Cu(L')(NCS)]_n ۱۰۷.....

جدول ۳-۳۸ مقدار زاویه α و τ ۱۱۲.....

جدول ۳-۳۹ مهمنترین بر همکنشها در ساختارهای دو بعدی [Cu(L')(N_r)]_n, Cu(L')(N_r)_n, [Cu(L')(N_r)]_n,

۱۱۳..... [Cu(L')(NCS)]_n

جدول ۳-۴۰ فاصله بین اتمهای مس در زنجیر و مابین نزدیکترین زنجیرها در کمپلکسها ۱۱۴.....

۱۱۴..... [Cu(L')(NCS)]_n, [Cu(L')(N_r)]_n, [Cu(L')(N_r)]_n

جدول ۳-۴۱ مهمنترین برهمکنشهای موجود در ساختار سوپرامولکول [Cu(L')(N_r)]_n ۱۱۴...

جدول ۳-۴۲ نتایج وداده های بلورشناسی کمپلکس [Cu(L')(N_r)]_n ۱۱۵.....

جدول ۳-۴۳ پارامترهای جابجایی آنیزوتروپی (A^{۸۲} x ۱۰^{۸۳}) در کمپلکس [Cu(L')(N_r)]_n ۱۱۶.....

جدول ۳-۴۴ پارامترهای جابجایی آنیزوتروپی (A^{۸۲} x ۱۰^{۸۳}) و مختصات هیدروژنی (A^{۸۴} x ۱۰^{۸۴}) در

۱۱۶..... کمپلکس [Cu(L')(N_r)]_n

جدول ۳-۴۵ طول (Å) و زوایای پیوندها (°) در کمپلکس [Cu(L')(N_r)]_n ۱۱۶.....

جدول ۳-۴۶ پارامترهای جابجایی آنیزوتروپی اکی والان (A^{۸۲} x ۱۰^{۸۳}) و مختصات اتمی

۱۱۹..... [Cu(L')(N_r)]_n (A^{۸۴} x ۱۰^{۸۴}) در کمپلکس

۱۲۲..... [Cu(HL')(SCN)(NCS)] در کمپلکس [A, Å]

جدول ۳-۴۸ نتایج وداده های بلورشناسی کمپلکس Cu(HL')(SCN)(NCS) ۱۲۴

جدول ۳-۴۹ پارامترهای جابجایی آنیزوتروپی در کمپلکس

۱۲۵.....Cu(HL')(SCN)(NCS)

۳-۵۰ پارامترهای جابجایی ایزوتروپی (A^{۸۲} x ۱۰^{۸۳}) و مختصات هیدروژنی (x ۱۰^{۸۴})

۱۲۵.....Cu(HL')(SCN)(NCS) در کمپلکس

جدول ۳-۵۱ طول(Å) و زوایای پیوندها (°) در کمپلکس Cu(HL')(SCN)(NCS) ۱۲۶

جدول ۳-۵۲ پارامترهای جابجایی ایزوتروپی اکی والان (A^{۸۲} x ۱۰^{۸۳}) و مختصات اتمی

۱۲۸.....Cu(HL')(SCN)(NCS) در کمپلکس (x ۱۰^{۸۴})

جدول ۳-۵۳ پیوندهای هیدروژنی [·, · Å] در کمپلکس [Zn_n(L')_n(N_n)_n. ۲H₂O]_n

جدول ۳-۵۴ نتایج وداده های بلورشناسی کمپلکس [Zn_n(L')_n(N_n)_n. ۲H₂O]_n

جدول ۳-۵۵ پارامترهای جابجایی آنیزوتروپی (A^{۸۲} x ۱۰^{۸۳}) در [Zn_n(L')_n(N_n)_n. ۲H₂O]_n

۱۳۶.....

جدول ۳-۵۶ پارامترهای جابجایی ایزوتروپی (A^{۸۲} x ۱۰^{۸۳}) و مختصات هیدروژنی (x ۱۰^{۸۴}) در

۱۳۶.....[Zn_n(L')_n(N_n)_n. ۲H₂O]_n

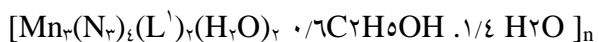
جدول ۳-۵۷ طول(Å) و زوایای پیوندها (°) در کمپلکس [Zn_n(L')_n(N_n)_n. ۲H₂O]_n ۱۳۷

جدول ۳-۵۸ پارامترهای جابجایی ایزوتروپی اکی والان (A^{۸۲} x ۱۰^{۸۳}) و مختصات اتمی در

۱۳۹.....[Zn_n(L')_n(N_n)_n. ۲H₂O]_n کمپلکس

جدول ۳-۵۹ نتایج وداده های بلورشناسی کمپلکس [Mn_n(N_n)_n(L')_n(H₂O)_n. ۰.۶C₂H₅OH. ۱/۴ H₂O]_n ۱۴۵

جدول ۳-۶۰ پارامترهای جابجایی آنیزوتروپی ۱۴۶



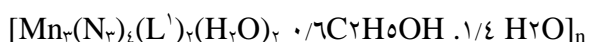
جدول ۳-۶۱ پارامترهای جابجایی ایزوتروپی (A⁸² x 10^{-۸۳}) و مختصات هیدروژنی ۱۴۶.....



جدول ۳-۶۲ پارامترهای جابجایی ایزوتروپی اکی والان (A⁸² x 10^{-۸۳}) و مختصات اتمی در ۱۴۷.....



جدول ۳-۶۳ طول (Å) و زوایای پیوندها (°) در کمپلکس ۱۴۸.....



فهرست شکل ها

شکل ۱-۱ اشکال مختلف کثوردیناسیون آزید ۳.....

شکل ۱-۲ برخی از کمپلکسهای مغناطیسی سنتز شده با شیف باز، b: [Cu_xGd(L_y)_z(NO_۳)_۲]

شکل ۱-۳ شکل های مختلف کثوردیناسیون یک آسیل هیدرازون ۵.....

شکل ۱-۴ کمپلکسهای سنتز شده با ۴-(4-chloro-phenylsulfonyl)benzohydrazide ۷.....

شکل ۱-۵ ساختار مولکولی لیگاندهای SPH_S ۹.....

شکل ۱-۶ دو کمپلکس برای فعال کردن پیوند C-H_D ۱۰..... X=acetate , M=Ni , Pd

شکل ۱-۷ تشابه بین یک لیگاند سالن غیر متقارن و لیگاند هیدرازون ۱۱.....

شکل ۱-۸ لیگاند DPKBH ۱۲.....

شکل ۱-۹ کمپلکس دو هسته ای با آزیدو آسیل هیدرازون ۱۳.....

شکل ۱-۱۰ کمپلکسهای سنتز شده با انواع شیوه های کثوردیناسیون یک آسیل هیدرازون ۱۴.....

شکل ۱-۱۱ ساختار کمپلکس [Cu(2-[1-(2-dimethylaminoethylimino)ethyl]phenol)(N³)] ۱۵.....

شکل ۱۲-۱ ساختار کمپلکس $\text{L}_1 = 1-(\text{N-salicylideneimine})-2-(\text{N,N-diethyl})\text{-aminoethane}$

۱۵ $[\text{Cu}(\text{Li})(\text{N}_3)]$

شکل ۱۳-۱ ساختار کمپلکس $[\text{Cu}(\text{pfbd})(\text{N}_3)\text{ClO}_4]$

۱۸ $[\text{Cu}(\text{acac})(\text{N}_3)(\text{dpyam})]^+$

شکل ۱۵-۱ شکل های متقارن و نامتقارن پل آزیدی EO

۱۹ $[\text{Cu}(\mu-\text{N}_3-\kappa^{\text{N}^+})(\text{C}_2\text{N}_3-\kappa^{\text{N}^+})(\text{dpyam})]^+$

شکل ۱۶-۱ ساختار کمپلکس $[\text{Cu}(\mu-\text{N}_3-\kappa^{\text{N}^+})(\text{C}_2\text{N}_3-\kappa^{\text{N}^+})(\text{dpyam})]^+$

شکل ۱۷-۱ شیوه های متقارن و نامتقارن از پل آزیدی EE

شکل ۱۸-۱ کمپلکس‌های مس با آزید d-EE در موقعیت استوایی و یا محوری

شکل ۱۹-۱ شکل چین خوردگیها در پل آزید d-EE

شکل ۲۰-۱ کمپلکس های مس-آزید با یک پل EE

شکل ۲۱-۱ زاویه دو وجهی Δ حول آزید EE

شکل ۲۲-۱ ساختار کمپلکس $[\{\text{Cu}(\text{acac})(\text{bipy})\}_2(\mu-1,3-\text{N}_3)]^+$

شکل ۲۳-۱ پلیمر یک بعدی یکنواخت با پل آزید EE

شکل ۲۴-۱ ساختار کمپلکس $[\text{Mn}(-\text{pyOH})(\text{N}_3)]_n$ (pyOH-۲-hydroxypyridine).

شکل ۲۵-۱ ساختار کمپلکس $[(\text{CuL}_2)(\mu-1,3-\text{N}_3)]_n$

شکل ۲۶-۱ . پلیمر یکنواخت با پل آزید EO

شکل ۲۷-۱ سیستم های یک بعدی از مس با پل های EE و EO

شکل ۲۸-۱ سیستم یک بعدی از کمپلکس های منگنز با نسبت های مختلف از لیگاند EO:EO

۲۸.....

شکل ۲۹-۱ سیستم یک بعدی با پل آزید $\mu-\text{N}_3$ و O_1

شکل ۱-۳۳- برخی از ساختارهای شبکه‌ای دوبعدی (بترتیب: پارکتی، آجری، مربعی و دو لایه‌ای)

۳۱.....

شکل ۱-۳۴- شبکه‌های دو بعدی، دو لایه: a، دیواره آجری: b و پارکتی: c

۳۲.....

شکل ۱-۳۵- برخی از شبکه‌های دوبعدی با آزید...

۴۵.....

شکل ۱-۳ طیف FT-IR لیگاند^۱ HL

۴۵.....

شکل ۲-۳ طیف FT-IR لیگاند^۲ HL

۴۸.....

شکل ۳-۳ طیف H-NMR^۱ لیگاند^۱ HL

۵۰.....

شکل ۳-۴ طیف H-NMR^۱ لیگاند^۲ HL

۵۴.....

شکل ۳-۵ طیف FT-IR کمپلکس [Cu(L')(N_۳)]_n

۵۵.....

شکل ۳-۶ طیف FT-IR کمپلکس [Mn_n(N_۳)_۴(L')_۴(H_۲O)_۷. ۰/۶C_۲H_۵OH . ۱/۴ H_۲O]_n

شکل ۳-۷ طیف FT-IR کمپلکس [Zn_n(L')_۴(N_۳)_۷. ۲H_۲O]_n

۵۷.....

شکل ۳-۸ طیف FT-IR کمپلکس [Cu(L')(N_۳)]_n. [Cu_n(L')_۴(N_۳)_۷. ۲H_۲O]_n

۵۷.....

شکل ۳-۹ طیف H-NMR^۱ کمپلکس [Zn_n(L')_۴(N_۳)_۷. ۲H_۲O]_n

۵۸.....

شکل ۳-۱۰ طیف FT-IR کمپلکس Cu(HL')(SCN)_۲ و [Cu(L')(SCN)]_n

۶۰.....

شکل ۳-۱۱ طیف الکترونی لیگاند^۱ HL

۶۲.....

شکل ۳-۱۲ طیف الکترونی لیگاند^۲ HL

۶۳.....

شکل ۳-۱۳ طیف الکترونی حالت جامد لیگاند آزید

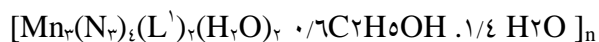
۶۴.....

شکل ۳-۱۴ طیف الکترونی کمپلکس [Cu(L')(N_۳)]_n

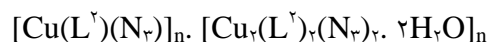
۶۷.....

شکل ۳-۱۵ طیف الکترونی کمپلکس

۶۹.....



شكل ۳ ۱۶-۳ طیف الکترونی حالت جامد کمپلکس



شكل ۳ ۱۷-۳ طیف الکترونی حالت جامد کمپلکس
 $\text{Cu}(\text{HL}')(\text{SCN})_2 \cdot [\text{Cu}(\text{L}')(\text{SCN})]_n$

شكل ۳ ۱۸-۳ طیف الکترونی کمپلکس
DMF در $[\text{Cu}(\text{L}')(\text{N}_7)]_n \cdot [\text{Cu}_2(\text{L}')_2(\text{N}_7)_2 \cdot 2\text{H}_2\text{O}]_n$

شكل ۳ ۱۹-۳ طیف الکترونی کمپلکس
DMF در $[\text{Cu}(\text{HL}')(\text{SCN})_2 \cdot [\text{Cu}(\text{L}')(\text{SCN})]_n$

شكل ۳ ۲۰-۳ طیف الکترونی کمپلکس $[\text{Zn}_2(\text{L}')_2(\text{N}_7)_2 \cdot 2\text{H}_2\text{O}]_n$

شكل ۳ ۲۱-۳ نمایش سلول واحد کمپلکس $[\text{Cu}_2(\text{L}')_2(\text{N}_7)_2 \cdot 2\text{H}_2\text{O}]_n$

شكل ۳ ۲۲-۳ نحوه‌ی قرار گرفتن مولکولهای آب در سلول واحد

شكل ۳ ۲۳ نمودار ORTEP کمپلکس $[\text{Cu}_2(\text{L}')_2(\text{N}_7)_2 \cdot 2\text{H}_2\text{O}]_n$

شكل ۳ ۲۴-۳ نمایش یک صفحه‌ی مسطح از پل‌های آزید

شكل ۳ ۲۵-۳ انطباق مرکز تقارن واحد دیمر بر مرکز تقارن سلول واحد

شكل ۳ ۲۶-۳ طرح ORTEP از کمپلکس $[\text{Cu}(\text{N}_3)(\text{L})(\text{NO}_3)]_n$

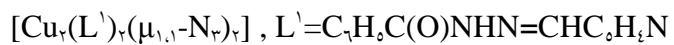
شكل ۳ ۲۷-۳ نحوه‌ی اتصال واحدهای دوهسته‌ای با چهار واحد دیگر

شكل ۳ ۲۸-۳ نمایش شبکه‌ی دو بعدی پلیمر $[\text{Cu}_2(\text{L}')_2(\text{N}_7)_2 \cdot 2\text{H}_2\text{O}]_n$

شكل ۳ ۲۹-۳ برخی از پیوندهای هیدروژنی بین مولکولهای آب و کمپلکس



شكل ۳ ۳۰-۳ طرح ORTEP کمپلکس



شکل ۳-۳۱ ساختار کمپلکس ۸۲
[Cu_n(L')_n(μ_{1,1}-N₃)_n] , HL'=C₆H₅C(O)NHN=C(CH₃)C₆H₅N

شکل ۳-۳۲ از نجیری از دیمر ها در جهت محور a در کمپلکس ۸۳
[(APBH)CuCl]₂.(EtOH)

شکل ۳-۳۳ نمایش سلول واحد کمپلکس_n [Cu(L')(N₃)_n] ۸۹

شکل ۳-۳۴ زنجیر زیگزاگی از کمپلکس [Cu(L')(N₃)_n]_n ۸۹

شکل ۳-۳۵ طرح ORTEP از کمپلکس_n [Cu(L')(N₃)_n] ۹۰

شکل ۳-۳۶ برهمکنشهای π-π stacking از کمپلکس_n [Cu(L')(N₃)_n] ۹۱

شکل ۳-۳۷ ساختار سه بعدی کمپلکس_n [Cu(L')(N₃)_n] ۹۲

شکل ۳-۳۸ طرح ORTEP از کمپلکس [Cu(N₃)Pyz(H₂O)]_n ۹۳

شکل ۳-۳۹ پیوندهای هیدروژنی موجود در ساختار کمپلکس [Cu(N₃)Pyz(H₂O)]_n ۹۳

شکل ۳-۴۰ نمایش سلول واحد کمپلکس_n [Cu(L')(NCS)]_n ۹۹

شکل ۳-۴۱ طرح ORTEP از واحد تکرار شونده در کمپلکس_n [Cu(L')(NCS)]_n ۱۰۰

شکل ۳-۴۲ انحراف آزید و تیوسیانات از صفحه مولکول ۱۰۱

شکل ۳-۴۳ کمپلکس a : [Cu(L')(NCS)]_n و b : [Cu(L')(N₃)_n] ۱۰۲

شکل ۳-۴۴ برهمکنشهای π-π Stacking در کمپلکس [Cu(L')(NCS)]_n ۱۰۲

شکل ۳-۴۵ زنجیر زیگزاگی از کمپلکس [Cu(L')(NCS)]_n ۱۰۳

شکل ۳-۴۶ نمایش سلول واحد کمپلکس [Cu(L')(N₃)_n] ۱۰۹

شکل ۳-۴۷ طرح ORTEP و قشرکور دیناسیون یون مس [Cu(L')(N₃)_n] ۱۱۰

شکل ۳-۴۸ ساختار مولکولی لیگاند Acetylpyridine benzoyl hydrazone و کمپلکس ۱۱۱
[(APBH)CuCl]₂.(EtOH)

شکل ۳-۴۹ زاویه بوجود آمده بین سه واحد تکرار شونده در سه پلیمر a :
[Cu(L')(NCS)]_n و c : [Cu(L')(N_۲)]_n : b
[Cu(L')(NCS)]_n رشد یافته دردو بعد..... ۱۱۲.....
شکل ۳-۵۰ ساختار کمپلکس [Cu(L')(NCS)]_n رشد یافته دردو بعد..... ۱۱۲.....

شکل ۳-۵۱ ساختار کمپلکس [Cu(L')(N_۲)]_n رشد یافته دردو بعد..... ۱۱۳.....

شکل ۳-۵۲ ساختار کمپلکس [Cu(L')(N_۲)]_n رشد یافته دردو بعد..... ۱۱۳.....

شکل ۳-۵۳ سوپرا مولکول سه بعدی از [Cu(L')(N_۲)]_n ۱۱۴.....

شکل ۳-۵۴ نمایش سلول واحد کمپلکس Cu(HL')(SCN)(NCS) ۱۲۰.....

شکل ۳-۵۵ طرح ORTEP و قشر کئوردیناسیون یون مس از کمپلکس ۱۲۱.....



شکل ۳-۵۶ نمایش حفره های بوجود آمده در کمپلکس ۱۲۳.....



شکل ۳-۵۷ سه بعدی از کمپلکس ۱۲۳..... Cu(HL')(SCN)(NCS)

شکل ۳-۵۸ نمایش سلول واحد کمپلکس [Zn_۲(L')_۲(N_۲)_۲.۲H_۲O]_n ۱۲۹.....

شکل ۳-۵۹ نحوه ی قرار گرفتن مولکولهای آب در سلول واحد ۱۲۹.....

شکل ۳-۶۰ طرح ORTEP کمپلکس [Zn_۲(L')_۲(N_۲)_۲.۲H_۲O]_n ۱۳۱.....

شکل ۳-۶۱ نمایش صفحه مسطح از پلهای [Zn_۲(L')_۲(N_۲)_۲.۲H_۲O]_n ۱۳۱.....

شکل ۳-۶۲ انطباق مرکز تقارن واحد دیمر بر مرکز تقارن سلول واحد ۱۳۲.....



شکل ۳-۶۳ نمایش شبکه ی دو بعدی از پلیمر [Zn_۲(L')_۲(N_۲)_۲.۲H_۲O]_n ۱۳۳.....

شکل ۳-۶۴ نمایش شبکه ی هیدروژنی بین مولکولهای آب و کمپلکس ۱۳۳.....



شکل ۳-۶ نمایش شبکه‌ی دو بعدی پلیمر $[Zn_r(L^r)_r(N_r)_r.2H_2O]_n$ ۱۳۴

شکل ۳-۷ شمای سلول واحد از کمپلکس ۱۴۰
 $[Mn_r(N_r)_r(L^r)_r(H_rO)_r.0.6C_2H_5OH.1/4 H_2O]_n$

شکل ۳-۸ طرح ORTEP از کمپلکس ۱۴۲
 $[Mn_r(N_r)_r(L^r)_r(H_rO)_r.0.6C_2H_5OH.1/4 H_2O]_n$

شکل ۳-۹ شکل پلیمر دو بعدی ۱۴۳
 $[Mn_r(N_r)_r(L^r)_r(H_rO)_r.0.6C_2H_5OH.1/4 H_2O]_n$

شکل ۳-۱۰ پیوند هیدروژنی بین دو گونه با پلیمر دو بعدی که منجر به سوپرامولکول سه بعدی ۱۴۴

شکل ۳-۱۱ نمودار T_χ بر حسب T برای کمپلکس ۱۵۳
 $[Mn_r(N_r)_r(L^r)_r(H_rO)_r.0.6C_2H_5OH.1/4 H_2O]_n$

شکل ۳-۱۲ طرحی از کوپلاژ AF/AF/F در کمپلکس ۱۵۴
 $[Mn_r(N_r)_r(L^r)_r(H_rO)_r.0.6C_2H_5OH.1/4 H_2O]_n$

شکل ۳-۱۳ منحنی M بر حسب H در دو دمای ۵ و ۲۰ درجه کلوین از کمپلکس ۱۵۵
 $[Mn_r(N_r)_r(L^r)_r(H_rO)_r.0.6C_2H_5OH.1/4 H_2O]_n$

۳-۱۴ مجموعه‌ای از خواص مغناطیسی با مقدار J_F/J_{AF} در محدوده ۰-۱،۰ با مقدار $J_F=2 Cm^{-1}$ برای چند سیستم یک بعدی با کوپلاژهای AF/AF/F ۱۵۶

فهرست شما

شمای ۳-۱ تهیه لیگاندهای HL^r و HL^l ۴۲

شمای ۳-۲ علامت گذاری پروتون‌های لیگاند L^r بدون در نظر گرفتن شکل ایزومری خاص ۴۶

شمای ۳-۳ تبدیل درون مولکولی ایزومرهای Z, E در لیگاند HL^r ۴۷

ضمائمه

- ۱۶۶..... طيف FT-IR پيريدين ۲- کربالدهيد.....
- ۱۶۶..... طيف FT-IR ۴- پيريدين کربوكسيليك اسيد هيذرازيد.....
- ۱۶۷..... طيف FT-IR ۲-پيريدين متيل كتون.....
- ۱۶۷..... طيف ¹H-NMR ايزونيكوتينو هيذرازيد (Isonicotinohydrazide) در CDCl³.....
- ۱۶۸..... طيف ¹H-NMR ۲-پيريدين متيل كتون در CDCl³.....
- ۱۶۸..... طيف ¹H-NMR ۲- پيريدين کربالدهيد در CDCl³.....

مقدمه

دهه‌ی پیش شاهد موفقیت بزرگی در زمینه مواد مغناطیس مولکولی^۱ بوده‌ایم. مگنت‌های آلى خالص و ترکیبات دوپایای spin crossover کشف شدند. با کشف و توسعه مغناطیس‌های تک مولکولی^۲(SMMs) و مغناطیس‌های تک‌زنجیری^۳(SCMs) مواد مغناطیس قدیمی جای خود را به سیستم‌های اسپین-پویا^۴ داده‌اند. در راستای این پیشرفت‌ها و توسعه‌ها، سنتز مواد مغناطیسی با خواصی همچون رسانایی، نوری و تخلخل توجه زیادی را به خود جلب کرده است. طراحی چنین مگنت‌های مولکولی جدید، به توصیف دواصل اساسی وابسته است: موج حامل اسپین و پل‌ها. در مورد پل‌ها، لیگاند‌های کوتاه از یک تا سه اتمی همچون O^- , OH^- , CN^- , N_3^- , HCOO^- و $\text{C}_2\text{O}_4^{2-}$... نقش مهمی را در تبادل مغناطیسی میان مراکز مغناطیسی ایفا می‌کنند. پل‌های سه اتمی مثل آزید (N₃⁻), فرمات (HCOO⁻), تیوسیانات (SCN⁻) و هیدروژن سیانامید (NCNH⁻) برای ساخت مگنت های مولکولی بسیار مناسب بنظر می‌رسند [۱].

۱- لیگاند‌های پل‌ساز

بطور کلی پل‌های کوچک و یا بلند مزدوج برای انتقال کوپلاژ‌های مغناطیسی مناسب هستند بنابراین اکسیدهای فلزی با اتم اکسیژن بعنوان یک پل تک اتمی و مگنت‌های مولکولی با پل‌های سیانیدی بعنوان بعضی مگنت‌های مولکولی در دمای اتاق، دو تا از وسیع‌ترین مگنت‌های مورد استفاده می‌باشند. اگرچه این پل‌ها برای کوپلاژ مغناطیسی مناسب هستند اما فاقد تنوع در شکل پل‌شوندگی هستند.

۱-Molecule-based magnets

۲-Single molecule magnets

۳-Single chain magnet

۴-Spin-dynamic